

УДК 532.516/532.526.2

АВТОМОДЕЛЬНЫЕ РЕШЕНИЯ НЕСТАЦИОНАРНЫХ ПОГРАНИЧНЫХ СЛОЕВ

О. А. Фроловская

Институт гидродинамики им. М. А. Лаврентьева СО РАН, 630090 Новосибирск

Рассмотрены автомодельные решения нестационарного диффузионно-динамического пограничного слоя, возникающего вблизи вертикальной стенки при больших числах Шмидта, и динамического пограничного слоя, сопрягающегося на внутренней границе с диффузионно-динамическим слоем. Показано, что в динамическом пограничном слое в области течения возникает зона противотока.

Введение. Для описания свободной конвекции вязкой жидкости вблизи вертикальной стенки и переноса примеси применяются классическая модель Обербека — Буссинеска и модель микроконвекции. Известно, что при использовании модели Обербека — Буссинеска при больших числах Рейнольдса можно выделить пограничный слой и из решений задачи в этом случае получить интегральные характеристики течения (числа Нуссельта). При микроконвекции числа Рейнольдса, как правило, невелики. В работе [1] предложен подход, позволяющий выделить диффузионно-динамический слой и в случае микроконвекции, когда модель Обербека — Буссинеска неприменима. В обеих моделях выделен особый диффузионно-динамический пограничный слой, если числа Шмидта (Прандтля) велики. При этом на число Рейнольдса не накладывалось никаких ограничений. В этих пограничных слоях оказались существенными вязкие силы и силы плавучести, а силы инерции пренебрежимо малы. Вне диффузионно-динамического пограничного слоя структура поля скоростей зависит от числа Рейнольдса. Если оно велико, то в области движения имеется еще один чисто динамический слой с большей асимптотической толщиной, сопрягающийся на внутренней границе с диффузионно-динамическим слоем, а на внешней — с областью состояния покоя.

В [1] сформулированы уравнения стационарного диффузионно-динамического пограничного слоя, построены их автомодельные решения и рассмотрены начальные асимптотики. Наиболее полные результаты исследования свободно-конвективных течений приведены в [2, 3].

Нестационарные пограничные слои. Рассмотрим задачу определения компонент u , v вектора скорости \mathbf{v} , концентрации c и отклонения от гидростатического давления p в области $y > 0$, ограниченной бесконечной вертикальной стенкой $\{y = 0\}$. Сила тяжести направлена по оси Ox , в координатах (x, y) ускорение свободного падения имеет вид $\mathbf{g} = (-g, 0)$. Считаем, что плотность расплава ρ линейно зависит от концентрации: $\rho = \rho_0[1 + \beta(c - c_\infty)]$, где ρ_0, c_∞ — средняя плотность и концентрация раствора; $\beta = (1/\rho_0)(d\rho/dc) = \text{const}$ (для определенности полагаем $\beta > 0$).

В случае больших чисел Шмидта $Sc = \nu/D$ вблизи вертикальной стенки при тех же допущениях, что и в [1], можно выделить нестационарный диффузионно-динамический

слой. Уравнения пограничного слоя для модели Буссинеска имеют вид

$$\begin{aligned} \nu \frac{\partial^2 u}{\partial y^2} = g\beta(c - c_\infty), \quad \frac{1}{\rho_0} \frac{\partial p}{\partial y} = \nu \frac{\partial^2 v}{\partial y^2}, \quad \frac{\partial u}{\partial x} + \frac{\partial v}{\partial y} = 0, \\ \frac{\partial c}{\partial t} + u \frac{\partial c}{\partial x} + v \frac{\partial c}{\partial y} = D \frac{\partial^2 c}{\partial y^2}. \end{aligned} \quad (1)$$

Краевые условия для скорости задаются в виде

$$u|_{y=0} = v|_{y=0} = 0, \quad u \xrightarrow{y \rightarrow \infty} u_\infty(t, x). \quad (2)$$

Для концентрации ставятся условия первого рода

$$c|_{t=0} = c_\infty, \quad c|_{y=0} = f(t, x), \quad c \xrightarrow{y \rightarrow \infty} c_\infty \quad (3)$$

или условия второго рода

$$c|_{t=0} = c_\infty, \quad \left. \frac{\partial c}{\partial y} \right|_{y=0} = h(t, x), \quad c \xrightarrow{y \rightarrow \infty} c_\infty, \quad (4)$$

где $c_\infty = \text{const}$; $f(t, x)$, $h(t, x)$ — заданные функции; $u_\infty(t, x)$ определяется в процессе решения задачи.

Задача (1)–(3) (или (1), (2), (4)) описывает движение в тонком диффузионно-динамическом слое толщиной порядка $(\text{ScRe}^2)^{-1/4}$, вне слоя $c \approx c_\infty$. В этом слое силы плавучести и вязкие силы одного порядка, а силы инерции и продольный градиент давления по сравнению с ними пренебрежимо малы. В отличие от случая классического пограничного слоя [4] внешнее представление скорости определяется в процессе решения, а не из условия срачивания с внешним решением:

$$u = v = 0, \quad p = 0, \quad c = c_\infty. \quad (5)$$

Компоненты вектора скорости и концентрации находятся независимо от давления, которое определяется интегрированием второго уравнения (1) по y от y до ∞ с учетом уравнения неразрывности:

$$p(t, x, y) = p_\infty(t, x) + \rho_0 \nu \left(\frac{\partial u_\infty}{\partial x} - \frac{\partial u}{\partial x} \right), \quad (6)$$

где $p_\infty(t, x)$ — давление на внешней границе пограничного слоя.

Задача для диффузионно-динамического пограничного слоя при микроконвекции состоит в нахождении концентрации c , вектора модифицированной скорости $\mathbf{w} = \mathbf{v} + \beta D \nabla c$ и модифицированного давления $q = p/\rho_* - gx + \beta(\nu - D)D\Delta c$, где $\rho = \rho_*(1 - \beta(c - c_\infty))^{-1}$, удовлетворяющих начально-краевой задаче [1]

$$\begin{aligned} \nu(1 - \beta(c - c_\infty)) \frac{\partial^2 w_1}{\partial y^2} = g\beta(c - c_\infty), \quad \frac{\partial q}{\partial y} = \nu \frac{\partial^2 w_2}{\partial y^2}, \quad \frac{\partial w_1}{\partial x} + \frac{\partial w_2}{\partial y} = 0, \\ \frac{\partial c}{\partial t} + w_1 \frac{\partial c}{\partial x} + w_2 \frac{\partial c}{\partial y} - \beta D \left(\frac{\partial c}{\partial y} \right)^2 = D(1 - \beta(c - c_\infty)) \frac{\partial^2 c}{\partial y^2}, \\ w_1|_{y=0} = \beta D \left. \frac{\partial c}{\partial x} \right|_{y=0}, \quad w_2|_{y=0} = \beta D \left. \frac{\partial c}{\partial y} \right|_{y=0}, \quad w_1 \xrightarrow{y \rightarrow \infty} w_\infty(t, x) < \infty, \\ c|_{t=0} = c_\infty, \quad c|_{y=0} = r(t, x), \quad c \xrightarrow{y \rightarrow \infty} c_\infty. \end{aligned} \quad (7)$$

Здесь w_1 , w_2 — компоненты вектора скорости \mathbf{w} ; $r(t, x)$ — заданная функция; $w_\infty(t, x)$ определяется в процессе решения задачи. Здесь также можно задавать для концентрации условия второго рода.

Поскольку в общем случае $u_\infty \neq 0$ ($w_\infty \neq 0$), решение задачи (1)–(3) (или (7)) нельзя срастить с внешним решением (5). Для компенсации этой невязки, если $Sc/Re^2 \rightarrow 0$, в области движения можно выделить, как это сделано в [1], еще одну асимптотику задачи, которая описывает движение в области с асимптотической толщиной, большей толщины рассмотренного выше пограничного слоя. В данном случае справедлива гипотеза Прандтля о равенстве порядков вязких сил и сил инерции. Движение в этом слое толщиной порядка $(Sc/Re^2)^{1/4}$ описывается системой уравнений

$$\frac{\partial u}{\partial t} + u \frac{\partial u}{\partial x} + v \frac{\partial u}{\partial y} = \nu \frac{\partial^2 u}{\partial y^2}, \quad \frac{\partial p}{\partial y} = 0, \quad \frac{\partial u}{\partial x} + \frac{\partial v}{\partial y} = 0. \quad (8)$$

В начальный момент времени

$$u|_{t=0} = 0. \quad (9)$$

Из условий срачивания получаем граничные условия для продольной компоненты скорости u

$$u|_{y=0} = u_\infty(t, x), \quad u \xrightarrow{y \rightarrow \infty} 0. \quad (10)$$

Граничное условие для поперечной компоненты скорости v задается в виде

$$v|_{y=0} = 0. \quad (11)$$

Задача для динамического слоя отличается от классической тем, что значение продольной скорости задается на внутренней, а не на внешней границе. Давление в задаче можно считать нулевым, поскольку из второго уравнения (8) следует, что давление p такое же, как при $y \rightarrow \infty$, где $p \equiv 0$ (состояние покоя, давление равно гидростатическому). Поэтому в формуле (6) в этом случае $p_\infty \equiv 0$.

Автомодельные решения. Если заданы условия первого рода, то можно искать автомодельные решения задачи (1)–(3) при $f(t, x) = c_\infty - \nu x t^{-2}/(g\beta D)$. Решение рассматриваемой задачи будем искать в виде $u = \partial\psi/\partial y$, $v = -\partial\psi/\partial x$, $c - c_\infty = (c_\infty - f(t, x))(C(\xi) - 1)$, где функция тока

$$\psi = \sqrt{D} x t^{-1/2} \Psi(\xi), \quad \xi = y t^{-1/2} / \sqrt{D}.$$

Тогда уравнения (1) примут вид

$$\Psi''' = C - 1, \quad C'' = (\Psi' - 2)(C - 1) - (\Psi + \xi/2)C'. \quad (12)$$

Из условий (2), (3) следует

$$\Psi(0) = \Psi'(0) = 0, \quad C(0) = 0, \quad \lim_{\xi \rightarrow \infty} \Psi'(\xi) = U_\infty = \text{const} < \infty, \quad \lim_{\xi \rightarrow \infty} C(\xi) = 1. \quad (13)$$

Начальные условия здесь не ставятся. Характерный профиль концентрации приведен на рис. 1.

Для внешнего представления скорости имеем

$$u_\infty(x) = U_\infty x t^{-1} \approx 0,975 x t^{-1}.$$

Для характеристики массообмена между растущей пленкой и раствором введем общее и местное числа Нуссельта:

$$\text{Nu} = \int_0^l \frac{1}{c_\infty - c_w} \frac{\partial c}{\partial y} \Big|_{y=0} dx, \quad \text{Nu}_x = \frac{x}{c_\infty - c_w} \frac{\partial c}{\partial y} \Big|_{y=0},$$

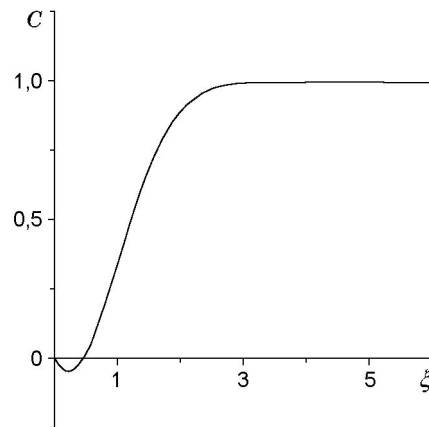


Рис. 1

где c_ω — значение концентрации на стенке $\{y = 0\}$. Для рассматриваемых решений формулы для определения чисел Нуссельта принимают вид

$$\text{Nu} = \frac{lt^{-1/2}}{\sqrt{D}} |C'(0)| \approx 0,434 \frac{lt^{-1/2}}{\sqrt{D}}, \quad \text{Nu}_x = \frac{xt^{-1/2}}{\sqrt{D}} |C'(0)| \approx 0,434 \frac{xt^{-1/2}}{\sqrt{D}}.$$

Определим толщину диффузионно-динамического слоя. Для оценки толщины пограничного слоя в классической теории используется так называемая толщина вытеснения [4]. В данном случае пограничный слой характеризуется тем, что в нем концентрация c отличается от средней, а вне слоя $c \approx c_\infty$. Аналог толщины вытеснения δ_c^* определим равенством

$$\delta_c^*(c_\infty - c_\omega) = \int_0^\infty [c_\infty - c(t, x, y)] dy.$$

После вычислений для автомодельных решений получим

$$\delta_c^* = \sqrt{Dt} \int_0^\infty [1 - C(\xi)] d\xi \approx 1,276\sqrt{Dt}.$$

В случае задания условия второго рода для концентрации на стенке автомодельное решение задачи (1), (2), (4) можно построить, если

$$h(t, x) = q\nu x t^{-5/2} / (g\beta D \sqrt{D}) \quad (q = \text{const} \geq 0).$$

Тогда решение ищем в том же виде, что и при решении задачи первого рода. При этом уравнения (12) и граничные условия (13) сохраняют вид, за исключением условия для концентрации на стенке: в (13) условие $C(0) = 0$ заменяется на $C'(0) = q$. Концентрация на стенке в зависимости от величины теплового потока (при $0 < q < 1$) изменяется по закону

$$c_\infty - c|_{y=0} = \nu x t^{-2} (1 - C(0)) / (g\beta D),$$

где $1 - C(0) = 0,139q^3 - 0,485q^2 + 1,896q + 2,132$.

Задача (7) не допускает автомодельного решения.

Решение задачи (8)–(11) ищем в виде $u = \partial\psi/\partial y$, $v = -\partial\psi/\partial x$, где функция тока ψ имеет вид

$$\psi = \sqrt{\nu x t^{-1/2}} \Psi(\eta), \quad \eta = y t^{-1/2} / \sqrt{\nu}.$$

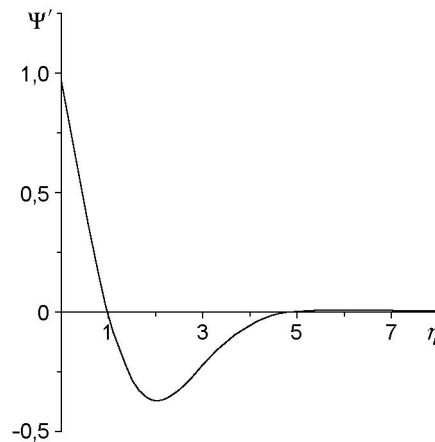


Рис. 2

Тогда для определения Ψ получаем задачу

$$\Psi''' = (\Psi' - 1)\Psi' - (\Psi + \eta/2)\Psi'', \quad \Psi(0) = 0, \quad \Psi'(0) = U_\infty, \quad \lim_{\eta \rightarrow \infty} \Psi'(\eta) = 0. \quad (14)$$

Из численного решения задачи (14) следует, что в области течения возникает зона противотока. Распределение $\Psi'(\eta)$ представлено на рис. 2. В этом случае (в отличие от классического) можно вычислить объемный расход Q в динамическом пограничном слое

$$Q = \int_0^\infty u(t, x, y) dy$$

и толщину вытеснения δ_v^* динамического слоя по формуле

$$\delta_v^* u_\infty(t, x) = \int_0^\infty u(t, x, y) dy.$$

Проведя вычисления, получим $Q = \sqrt{\nu x t^{-1/2}} \Psi_\infty \approx -0,256 \sqrt{\nu x t^{-1/2}}$. Толщина зоны противотока

$$\delta = ((\Psi(\eta_*) - |\Psi_\infty|)/U_\infty) \sqrt{\nu t} \approx 0,201 \sqrt{\nu t}$$

составляет 76,66 % толщины динамического слоя δ_v^* . Здесь Ψ_∞ — значение $\Psi(\eta)$ при $\eta \rightarrow \infty$; η_* — точка, в которой $\Psi' = 0$.

Выводы. Рассмотрена задача о массообмене и свободной конвекции вблизи вертикальной стенки при больших числах Шмидта. В неустановившемся режиме движения построены автомодельные решения. Получены формулы для массообмена.

Если число Рейнольдса велико, то в области движения имеется также чисто динамический пограничный слой с большей асимптотической толщиной, сопрягающийся на внутренней границе с диффузионно-динамическим слоем. В области течения возникает зона противотока.

ЛИТЕРАТУРА

1. Кузнецов В. В., Фроловская О. А. Пограничные слои при свободной конвекции // ПМТФ. 2000. Т. 41, № 3. С. 92–100.

2. **Мартыненко О. Г., Соковишин Ю. А.** Свободно-конвективный теплообмен на вертикальной поверхности. Минск: Наука и техника, 1977.
3. **Мартыненко О. Г., Березовский А. А., Соковишин Ю. А.** Асимптотические методы в теории свободно-конвективного теплообмена. Минск: Наука и техника, 1979.
4. **Шлихтинг Г.** Теория пограничного слоя. М.: Наука, 1974.

Поступила в редакцию 21/VI 2001 г.
